

Integrazione numerica II^a parte

Calcolo Numerico - Ing. Inf. - Lezione 17

Outline

- 1 Formule di Newton-Cotes
 - Formule generalizzate (o composite)
 - Applicazione della estrapolazione all'integrazione
- 2 Formule di quadratura di tipo gaussiano
 - Polinomi ortogonali
 - Formule gaussiane

Se i nodi della formula considerata sono prefissati arbitrariamente (due a due distinti), i pesi sono determinati dalle prime $n + 1$ equazioni del sistema lineare riportato nella **Lezione 16 -Slide 23** del tipo $V\alpha = \mu$ con

$$V = \begin{pmatrix} 1 & 1 & \cdots & 1 \\ x_0 & x_1 & \cdots & x_n \\ \cdots & \cdots & \cdots & \cdots \\ x_0^n & x_1^n & \cdots & x_n^n \end{pmatrix}$$

$$\alpha^T = (a_0, a_1, \dots, a_n), \mu^T = (m_0, m_1, \dots, m_n)$$

Poiché V è una matrice di Vandermonde, nelle ipotesi attuali risulta $\det(V) \neq 0$ e quindi α esiste ed è unico ed inoltre il grado di precisione è almeno n poiché $E_n(1) = E_n(x) = \cdots = E_n(x^n) = 0$

Outline

1 Formule di Newton-Cotes

- Formule generalizzate (o composite)
- Applicazione della estrapolazione all'integrazione

2 Formule di quadratura di tipo gaussiano

- Polinomi ortogonali
- Formule gaussiane

Se $\rho(x) = 1$ e i nodi sono fissati in **progressione aritmetica** di ragione $h = (b - a)/n$, cioè $x_i = x_0 + ih$, $i = 0, 1, \dots, n$, e quindi con $x_0 = a$ e $x_n = b$, si hanno le **formule di Newton-Cotes**

h si dice il **passo** della formula ed i pesi sono definiti con la tecnica interpolatoria $a_i = l(\ell_i(x))$

La **formula trapezoidale** e la **formula di Simpson** sono le prime due formule di Newton-Cotes

I pesi delle **formule di Newton-Cotes** sono stati calcolati per vari valori di n

Fino a $n = 7$ (otto punti) i **pesi** sono **positivi**, mentre per $n > 7$ compaiono **pesi negativi** e le formule diventano numericamente instabili, cioè la loro capacità di amplificare gli errori di arrotondamento aumenta

Una caratteristica importante delle formule di Newton-Cotes risiede nel fatto che per esse il **nucleo di Peano** $G(t)$ non cambia segno in $[a, b]$, per cui, per l'errore, si può utilizzare l'espressione nella **Lezione 16 - Slide 25** dove m si determina in base alla definizione e il termine $E_n(x^{m+1})$ si calcola facilmente una volta noti i pesi

Indicando con $p = n + 1$ il numero dei nodi, l'errore assume la seguente forma caratteristica

$$E_n(f) = \begin{cases} c_p h^{p+1} f^{(p)}(\theta), & p \text{ pari,} \\ c_p h^{p+2} f^{(p+1)}(\theta), & p \text{ dispari,} \end{cases}$$

con c_p costante dipendente da p

Le formule di **Newton-Cotes** qui definite vengono dette **chiuse**, per distinguerle da formule analoghe dette **aperte** nelle quali si ha

$$a < x_0 < x_1 < \cdots < x_n < b$$

(a parità di numero di nodi, le formule aperte sono meno precise di quelle di tipo chiuso)

Si riportano le prime tre formule chiuse con i relativi errori

❶ Formula trapezoidale

$$I(f) = \frac{b-a}{2} [f(x_0) + f(x_1)] - \frac{1}{12} h^3 f^{(2)}(\theta)$$

❷ Formula di Simpson:

$$I(f) = \frac{b-a}{6} [f(x_0) + 4f(x_1) + f(x_2)] - \frac{1}{90} h^5 f^{(4)}(\theta)$$

❸ Formula dei 3/8 o "pulcherrima":

$$I(f) = \frac{b-a}{8} [f(x_0) + 3f(x_1) + 3f(x_2) + f(x_3)] - \frac{3}{80} h^5 f^{(4)}(\theta)$$

Se, per una formula a $n + 1$ punti, il passo di integrazione $h = (b - a)/n$ risulta troppo ampio, si divide $[a, b]$ in L parti uguali, mediante i punti $x_0 = a < x_1 < \dots < x_L = b$, e si utilizza la proprietà

$$I(f) = \sum_{i=1}^L \int_{x_{i-1}}^{x_i} f(x) dx$$

Si ottengono quindi le **formule di Newton-Cotes generalizzate** applicando una stessa formula a $n + 1$ punti per ognuno degli L integrali a secondo membro

Si hanno così $nL + 1$ nodi con un passo $h = \frac{b-a}{nL}$

Le formule più usate sono la formula trapezoidale ($n = 1$) e quella di Simpson ($n = 2$) le quali danno luogo alle corrispondenti formule generalizzate

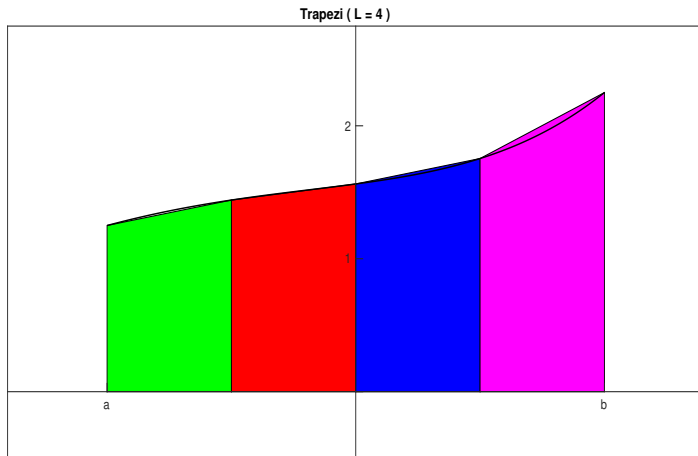
Formula dei Trapezi

$$I(f) = \frac{b-a}{2L} \left[f(x_0) + 2 \sum_{i=1}^{L-1} f(x_i) + f(x_L) \right] - \frac{(b-a)^3}{12L^2} f^{(2)}(\tau)$$

$$J_1^{(G)}(f) = \frac{b-a}{2L} \left[f(x_0) + 2 \sum_{i=1}^{L-1} f(x_i) + f(x_L) \right]$$

$$E_1^{(G)}(f) = -\frac{(b-a)^3}{12L^2} f^{(2)}(\tau)$$

La figura rappresenta una applicazione della **formula dei trapezi**



Formula di Cavalieri-Simpson

$$I(f) = \frac{b-a}{6L} \left[f(x_0) + 4 \sum_{i=0}^{L-1} f\left(\frac{x_i + x_{i+1}}{2}\right) + 2 \sum_{i=1}^{L-1} f(x_i) + f(x_L) \right] - \frac{(b-a)^5}{2880L^4} f^{(4)}(\tau)$$

$$J_2^{(G)}(f) = \frac{b-a}{6L} \left[f(x_0) + 4 \sum_{i=0}^{L-1} f\left(\frac{x_i + x_{i+1}}{2}\right) + 2 \sum_{i=1}^{L-1} f(x_i) + f(x_L) \right]$$

$$E_2^{(G)}(f) = -\frac{(b-a)^5}{2880L^4} f^{(4)}(\tau)$$

Queste due formule generalizzate hanno lo stesso grado di precisione delle formule di cui sono la generalizzazione ma presentano il vantaggio di un errore che tende a zero al crescere di L (se le derivate nella espressione dell'errore sono limitate in $[a, b]$)

Si può osservare che da $h = (b - a)/nL$ segue che gli errori sono rispettivamente dell'ordine di h^2 e di h^4

Esempio 1

Si vuole approssimare

$$\int_0^1 \frac{1}{1+x} dx$$

con un massimo errore assoluto E con $|E| \leq 10^{-2}$

Utilizziamo la [formula trapezoidale](#) e, in un secondo momento, la [formula di Cavalieri-Simpson](#) dovendo stabilire quale delle due sia da preferirsi

Esempio 1

L'errore che si commette nell'approssimare un integrale con una formula di quadratura è composto da due contributi

- ① **errore algoritmico dovuto alla sostituzione dell'integrale con un algoritmo di calcolo che è dato dalla formula considerata**
- ② **errore trasmesso dai dati dovuto al calcolo concreto del valore dato dalla formula**

Il primo contributo all'errore coincide con l'errore della formula

Il secondo contributo è di difficile calcolo e dipende dalle caratteristiche dei mezzi di calcolo a disposizione

Esempio 1

Da quanto detto, indicato con $E_n^{(G)}(f)$ l'errore della formula, imponiamo

$$\left| E_n^{(G)}(f) \right| \leq \frac{1}{2} |E|$$

L'altra metà dell'errore si riserva al calcolo del valore della formula di quadratura

Esempio 1 - Formula dei Trapezi

Per la **formula dei trapezi**, sull'intervallo $[0, 1]$, risulta

$$E_1^{(G)}(f) = -\frac{1}{12L^2} f^{(2)}(\tau)$$

Poniamo

$$M_2 \geq \sup_{x \in [0,1]} |f^{(2)}(x)|$$

Per determinare quanti devono essere gli L intervalli per rientrare nella limitazione dell'errore si risolve la disequazione

$$\frac{1}{12L^2} M_2 \leq \frac{1}{2} 10^{-2}$$

Esempio 1 - Formula dei Trapezi

Poiché $f^{(2)}(x) = \frac{2}{(1+x)^3}$ si ha

$$M_2 = 2$$

Si deve quindi risolvere la disequazione

$$\frac{1}{6L^2} \leq \frac{1}{2}10^{-2}$$

le cui soluzioni sono

$$L \geq 6$$

Esempio 1 - Formula dei Trapezi

Si deduce che, per rientrare nella limitazione richiesta, basta applicare la **formula dei trapezi** con $L = 6$

Il costo computazionale si misura in base a quante valutazioni di funzione si devono fare per calcolare il valore della formula di quadratura

Con L intervalli, la formula dei trapezi prevede $V_T = L + 1$ valutazioni di funzione per cui, nel nostro caso risulta

$$V_T = 7$$

Esempio 1 - Formula di Cavalieri-Simpson

Per la **formula di Cavalieri-Simpson**, sull'intervallo $[0, 1]$, risulta

$$E_2^{(G)}(f) = -\frac{1}{2880L^4}f^{(4)}(\tau)$$

Poniamo

$$M_4 \geq \sup_{x \in [0,1]} |f^{(4)}(x)|$$

Per determinare quanti devono essere gli L intervalli per rientrare nella limitazione dell'errore si risolve la disequazione

$$\frac{1}{2880L^4}M_4 \leq \frac{1}{2}10^{-2}$$

Esempio 1 - Formula di Cavalieri-Simpson

Poiché $f^{(4)}(x) = \frac{24}{(1+x)^5}$ si ha

$$M_4 = 24$$

Si deve quindi risolvere la disequazione

$$\frac{24}{2880L^4} \leq \frac{1}{2}10^{-2}$$

le cui soluzioni sono

$$L \geq 2$$

Esempio 1 - Formula di Cavalieri-Simpson

Si deduce che, per rientrare nella limitazione richiesta, basta applicare la [formula di Cavalieri-Simpson](#) con $L = 2$

Il costo computazionale si misura in base a quante valutazioni di funzione si devono fare per calcolare il valore della formula di quadratura

Con L intervalli, la formula di Cavalieri-Simpson prevede $V_{CS} = 2L + 1$ valutazioni di funzione per cui, nel nostro caso risulta

$$V_{CS} = 5$$

Esempio 1 - Confronto tra le due formule

Dal confronto tra i due costi computazionali, si conclude che la **formula di Cavalieri-Simpson** è da preferirsi rispetto alla **formula dei trapezi** poiché

$$V_{CS} < V_T$$

L'integrale proposto può essere calcolato esattamente e si ha

$$\log 2 = \int_0^1 \frac{1}{1+x} dx \simeq 0.69314718 \dots$$

mentre risultano

$$J_1^{(G)}(f) = 0.69487734 \dots \quad J_2^{(G)}(f) = 0.69325396 \dots$$

Si può dimostrare che se $f(x)$ è sufficientemente regolare in $[a, b]$, l'errore della **formula dei trapezi** ammette uno **sviluppo in serie di potenze pari di h**

Ponendo

$$J_0^{(1)} = \frac{h}{2} \left[f(x_0) + 2 \sum_{i=1}^{m-1} f(x_i) + f(x_m) \right]$$

si può dimostrare il seguente teorema

Teorema

Se $f(x) \in C^{2r+2}([a, b])$, si può scrivere

$$I(f) = J_0^{(1)} + \alpha_1^{(1)} h^2 + \alpha_2^{(1)} h^4 + \cdots + \alpha_r^{(1)} h^{2r} + O(h^{2r+2})$$

dove $\alpha_1^{(1)}, \alpha_2^{(1)}, \dots, \alpha_r^{(1)}$, **non** dipendono da h

Dalla relazione riportata nell'ultimo teorema risulta evidente come l'errore di $J_0^{(1)}$ sia dell'ordine di h^2

Inoltre, con un costo computazionale relativamente contenuto, si possono ottenere stime più accurate di I per mezzo della **tecnica di estrapolazione**

Scelto l'intero $q > 1$, la formula dei trapezi, con il passo $h/q = (b - a)/mq$, fornisce la stima di I

$$J_1^{(1)} = \frac{h}{2q} \left[f(x_0) + 2 \sum_{i=1}^{mq-1} f(x_i) + f(x_{mq}) \right]$$

dove ora i nodi sono $x_i = a + i \frac{h}{q}$, $i = 0, 1, \dots, mq$

Per il Teorema precedente si può scrivere

$$I = J_1^{(1)} + \alpha_1^{(1)} \left(\frac{h}{q}\right)^2 + \alpha_2^{(1)} \left(\frac{h}{q}\right)^4 + \cdots + \alpha_r^{(1)} \left(\frac{h}{q}\right)^{2r} + O(h^{2r+2})$$

Eliminando il termine $\alpha_1^{(1)} h^2$ fra i due sviluppi di I si ottiene

$$I = J_0^{(2)} + \alpha_2^{(2)} h^4 + \cdots + \alpha_r^{(2)} h^{2r} + O(h^{2r+2})$$

dove si è posto

$$J_0^{(2)} = \frac{q^2 J_1^{(1)} - J_0^{(1)}}{q^2 - 1} \quad \text{(formula di Romberg)}$$

e dove i nuovi coefficienti $\alpha_2^{(2)}, \dots, \alpha_r^{(2)}$ non dipendono da h

La nuova espressione di I mostra che l'errore di $J_0^{(2)}$ risulta dell'ordine di h^4 , cioè è una stima di I migliore di $J_0^{(1)}$ e $J_1^{(1)}$

Il calcolo di $J_0^{(2)}$ necessita un costo computazionale di solo 3 operazioni essenziali mentre una stima di I più accurata di $J_1^{(1)}$, mediante la formula trapezoidale, implica necessariamente l'uso di un passo minore di h/q e quindi un costo computazionale più elevato

Il procedimento di estrapolazione può essere ripetuto: ad ogni applicazione, l'ordine dell'errore della nuova stima di I aumenta di due

Infatti, con il passo h/q^2 , dalla formula dei trapezi, si ricava $J_2^{(1)}$ e si ha

$$I = J_2^{(1)} + \alpha_1^{(1)} \left(\frac{h}{q^2} \right)^2 + \alpha_2^{(1)} \left(\frac{h}{q^2} \right)^4 + \cdots + \alpha_r^{(1)} \left(\frac{h}{q^2} \right)^{2r} + O(h^{2r+2})$$

Eliminando $\alpha_1^{(1)}(h/q)^2$ tra l'ultima relazione e la precedente (Slide 25) si ottiene

$$I = J_1^{(2)} + \alpha_2^{(2)} \left(\frac{h}{q} \right)^4 + \cdots + \alpha_r^{(2)} \left(\frac{h}{q} \right)^{2r} + O(h^{2r+2})$$

dove

$$J_1^{(2)} = \frac{q^2 J_2^{(1)} - J_1^{(1)}}{q^2 - 1}$$

Eliminando ora $\alpha_2^{(2)} h^4$ dalle relazioni coinvolgenti $J_1^{(2)}$ e $J_0^{(2)}$ (Slide 25 - 27) si può scrivere

$$I = J_0^{(3)} + \alpha_3^{(3)} h^6 + \dots + \alpha_r^{(3)} h^{2r} + O(h^{2r+2})$$

dove

$$J_0^{(3)} = \frac{q^4 J_1^{(2)} - J_0^{(2)}}{q^4 - 1}$$

con $\alpha_3^{(3)}, \dots, \alpha_r^{(3)}$ indipendenti da h

Nella sua formulazione più generale, la **tecnica di estrapolazione** consiste, fissato l'intero $N < r$, nel calcolare, mediante la formula dei trapezi, i valori

$$J_0^{(1)}, J_1^{(1)}, \dots, J_N^{(1)}$$

corrispondenti ai passi $h, h/q, \dots, h/q^N$ (questa è la parte più costosa del metodo), quindi si costruiscono nuove approssimazioni di I in base allo schema

$$J_i^{(k+1)} = \frac{q^{2k} J_{i+1}^{(k)} - J_i^{(k)}}{q^{2k} - 1}, \quad k = 1, 2, \dots, N$$

dove, per ciascun valore di k , l'indice i assume i valori $0, 1, \dots, N - k$

Dalle considerazioni precedenti si deduce che $J_i^{(k+1)}$ presenta un errore dell'ordine di $(h/q^i)^{2(k+1)}$

Le successive approssimazioni di I ottenute con le formule di Romberg costituiscono una speciale applicazione di un procedimento generale, detto **estrapolazione di Richardson**

Tale procedimento può essere impiegato in tutti quei casi in cui una grandezza T si possa approssimare con un valore $\tau_0^{(1)}$ dipendente da un parametro h , e l'errore $T - \tau_0^{(1)}$ sia sviluppabile come

$$T = \tau_0^{(1)} + \beta_1^{(1)} h^{r_1} + \beta_2^{(1)} h^{r_2} + \dots$$

con $\beta_1^{(1)}, \beta_2^{(1)}, \dots$ non dipendenti da h e $0 < r_1 < r_2 < \dots \in \mathbb{N}$

Outline

- 1 Formule di Newton-Cotes
 - Formule generalizzate (o composite)
 - Applicazione della estrapolazione all'integrazione
- 2 Formule di quadratura di tipo gaussiano
 - Polinomi ortogonali
 - Formule gaussiane

Prima di illustrare il secondo insieme di formule di quadratura, si ricordano alcune definizioni e proprietà di una particolare classe di polinomi

Si indichi con Π lo spazio vettoriale dei polinomi algebrici a coefficienti reali e sia $[a, b]$ un intervallo non necessariamente limitato

Per ogni coppia $r(x), s(x) \in \Pi$ si consideri il prodotto scalare

$$\langle r, s \rangle = \langle s, r \rangle = I(\rho rs) = \int_a^b \rho(x) r(x) s(x) dx$$

Si definisce Π^* come l'insieme dei **polinomi ortogonali**, cioè

$$\Pi^* = \{q_i(x) \mid \text{grado}(q_i) = i; \langle q_i, q_j \rangle = h_i \delta_{ij} ; i, j = 0, 1, 2, \dots\}$$

I numeri positivi h_i sono le **costanti di normalizzazione**

Dati $[a, b]$ e $\rho(x)$, gli elementi di Π^* restano definiti a meno di una costante moltiplicativa e costituiscono una base per Π

Per i **polinomi ortogonali** valgono le proprietà

- ① $\langle p, q_n \rangle = 0 \quad \forall p \in \Pi_{n-1}$
- ② $q_n(x)$ ha n zeri reali e distinti in $]a, b[$

I **polinomi ortogonali** possono essere costruiti con semplici formule di ricorrenza a tre termini (**alcuni esempi sono riportati nel §7.6.3 delle dispense**)

Su intervalli simmetrici rispetto all'origine gli **zeri** dei **polinomi ortogonali** sono simmetrici rispetto all'origine

Fissati $\rho(x)$, $[a, b]$ ed n , scegliendo i nodi x_i come gli **zeri** del **polinomio ortogonale** di grado $n + 1$, risulta univocamente determinata la formula di quadratura di grado di precisione almeno $2n + 1$

$$I(\rho f) = \int_a^b \rho(x) f(x) dx \simeq \sum_{i=0}^n a_i f(x_i) = J_n(f)$$

che è detta **formula di quadratura gaussiana**

Si può enunciare il teorema che segue e la cui dimostrazione si trova sulle dispense

Teorema

Dati $[a, b]$ e $\rho(x)$, sia $f(x) \in C^{2n+2}([a, b])$ e $J_n(f)$ una formula di quadratura gaussiana

allora i nodi x_0, x_1, \dots, x_n sono gli zeri di $q_{n+1}(x) \in \Pi^*$, i pesi sono positivi e dati da

$$a_i = I(\rho \ell_i^2), \quad i = 0, 1, \dots, n,$$

e il grado di precisione è esattamente $2n + 1$, essendo

$$E_n(f) = K_n \frac{f^{(2n+2)}(\theta)}{(2n+2)!}, \quad K_n > 0, \quad \theta \in]a, b[$$

l'errore della formula

Osservazione 1

Nodi e pesi delle formule gaussiane sono numeri irrazionali e sono stati calcolati in precisione multipla per vari valori di n
Essi sono inseriti nei principali programmi di calcolo per l'integrazione approssimata

Osservazione 2

Gli integrali estesi ad un intervallo limitato $[a, b]$, si usano polinomi ortogonali definiti in $[-1, 1]$

Ogni intervallo di integrazione $a \leq t \leq b$ può ricondursi all'intervallo $-1 \leq x \leq 1$ con la trasformazione $t = \frac{b-a}{2}x + \frac{b+a}{2}$ e la funzione $\rho(x)$ può essere comunque introdotta
Risulta infatti

$$\int_a^b g(t) dt = \int_{-1}^1 \rho(x) f(x) dx$$

ove si assuma $f(x) = \frac{b-a}{2\rho(x)} g\left(\frac{b-a}{2}x + \frac{b+a}{2}\right)$

Osservazione 3

La **positività dei pesi** consente di dimostrare, sotto ipotesi molto generali, la **convergenza di $J_n(f)$**

Più precisamente, nel caso di intervalli limitati $[a, b]$ e per formule di grado $2n + 1$, la semplice continuità di $f(x)$ è condizione sufficiente affinché

$$\lim_{n \rightarrow \infty} J_n(f) = I(\rho f)$$

Pertanto l'errore $E_n(f)$ tende a zero per $n \rightarrow \infty$ anche nel caso che $f(x)$ non sia derivabile

Polinomi di Chebyshev di 1^a specie

In questo caso si ha

$$\textcircled{1} [a, b] = [-1, 1]$$

$$\textcircled{2} \rho(x) = \frac{1}{\sqrt{1-x^2}}$$

$$\textcircled{3} h_0 = \pi, h_i = \pi/2, i > 0$$

$$\textcircled{4} T_0(x) = 1, T_1(x) = x$$

$$T_{i+1}(x) = 2xT_i(x) - T_{i-1}(x), i = 1, 2, \dots$$

I nodi e i pesi delle corrispondenti formule di quadratura sono esprimibili in forma chiusa

$$x_i = -\cos \frac{(2i+1)\pi}{2(n+1)}, \quad a_i = \frac{\pi}{n+1}, \quad i = 0, 1, \dots, n$$

Polinomi di Chebyshev di 2^a specie

In questo caso si ha

❶ $[a, b] = [-1, 1]$

❷ $\rho(x) = \sqrt{1 - x^2}$

❸ $h_i = \pi/2, \quad i \geq 0$

❹ $U_0(x) = 1, \quad U_1(x) = 2x$

$$U_{i+1}(x) = 2xU_i(x) - U_{i-1}(x), \quad i = 1, 2, \dots$$

I pesi e i nodi delle prime formule di quadratura sono riportati nella tabella della slide che segue

Polinomi di Chebyshev di 2^a specie

n	x_j	a_j
0	0.0000000000	1.5707963268
1	± 0.5000000000	0.7853981634
2	± 0.7071067812 0.0000000000	0.3926990817 0.7853981634
3	± 0.8090169944 ± 0.3090169944	0.2170787134 0.5683194500
4	± 0.8660254038 ± 0.5000000000 0.0000000000	0.1308996939 0.3926990817 0.5235987756
5	± 0.9009688679 ± 0.6234898019 ± 0.2225209340	0.0844886909 0.2743330561 0.4265764164

Polinomi di Legendre

In questo caso si ha

① $[a, b] = [-1, 1]$

② $\rho(x) = 1$

③ $h_i = 2/(2i + 1), \quad i \geq 0$

④ $P_0(x) = 1, \quad P_1(x) = x$

$$(i + 1)P_{i+1}(x) = (2i + 1)xP_i(x) - iP_{i-1}(x), \quad i = 1, 2, \dots$$

I pesi e i nodi delle prime formule di quadratura sono riportati nella tabella della slide che segue

Polinomi di Legendre

n	x_j	a_j
0	0.0000000000	2.0000000000
1	± 0.5773502692	1.0000000000
2	± 0.7745966692 0.0000000000	0.5555555555 0.8888888888
3	± 0.8611363116 ± 0.3399810436	0.3478548451 0.6521451549
4	± 0.9061798459 ± 0.5384693101 0.0000000000	0.2369268851 0.4786286705 0.5688888888
5	± 0.9324695142 ± 0.6612093865 ± 0.2386191861	0.1713244924 0.3607615730 0.4679139346

Polinomi di Laguerre

In questo caso si ha

❶ $[a, b] = [0, +\infty[$

❷ $\rho(x) = e^{-x}$

❸ $h_i = 1, \quad i \geq 0$

❹ $L_0(x) = 1, \quad L_1(x) = -x + 1$

$$(i+1)L_{i+1}(x) = (2i+1-x)L_i(x) - iL_{i-1}(x), \quad i = 1, 2, \dots$$

I pesi e i nodi delle prime formule di quadratura sono riportati nella tabella della slide che segue

Polinomi di Laguerre

n	x_i	a_i
0	1.0000000000	1.0000000000
1	0.5857864376 3.4142135624	0.8535533906 0.1464466094
2	0.4157745568 2.2942803603 6.2899450829	0.7110930099 0.2785177336 0.0103892565
3	0.3225476896 1.7457611012 4.5366202969 9.3950709123	0.6031541043 0.3574186924 0.0388879085 0.0005392947

n	x_i	a_i
4	0.2635603197 1.4134030591 3.5964257710 7.0858100059 12.640800844	0.5217556106 0.3986668111 0.0759424497 0.0036117587 0.0000233700
5	0.2228466042 1.1889321017 2.9927363261 5.7751435691 9.8374674184 15.982873981	0.4589646739 0.4170008308 0.1133733821 0.0103991975 0.0002610172 0.0000008985

Polinomi di Hermite

In questo caso si ha

❶ $[a, b] =] - \infty, +\infty[$

❷ $\rho(x) = e^{-x^2}$

❸ $h_i = 2^i(i!)\sqrt{\pi}, \quad i \geq 0$

❹ $H_0(x) = 1, \quad H_1(x) = 2x$

$$H_{i+1}(x) = 2xH_i(x) - 2iH_{i-1}(x), \quad i = 1, 2, \dots$$

I pesi e i nodi delle prime formule di quadratura sono riportati nella tabella della slide che segue

Polinomi di Hermite

n	x_j	a_j
0	0.0000000000	1.7724538509
1	± 0.7071067812	0.8862269255
2	± 1.2247448714	0.2954089752
	0.0000000000	1.1816359006
3	± 1.6506801239	0.0813128354
	± 0.5246476233	0.8049140900
4	± 2.0201828705	0.0199532421
	± 0.9585724646	0.3936193232
	0.0000000000	0.9453087205
5	± 2.3506049737	0.0045300099
	± 1.3358490740	0.1570673203
	± 0.4360774119	0.7246295952